



О.К.Рычко

## УСОВЕРШЕНСТВОВАННАЯ СТРУКТУРНО-ФУНКЦИОНАЛЬНАЯ СХЕМА УЧЕТА И ПРОГНОЗИРОВАНИЯ ФИТОГИДРОТЕРМИЧЕСКИХ УСЛОВИЙ В АРИДНЫХ АГРОЛАНДШАФТАХ

Предлагается система специальных методов оценки и алгоритмов расчета основных растительных, водных и тепловых факторов, формирующих фитогидротермические условия вегетирования культурной растительности в аридных регионах.

Значительная в аридных регионах территориальная и внутрисезонная изменчивость фитогидротермических условий функционирования антропогенных ландшафтов – к которым в полной мере можно отнести сельскохозяйственные ландшафты - требует осуществления их учета и прогнозирования в виде определения растительных и водно-тепловых факторов, формирующих режимы вегетирования культурных фитогеоценозов – ароценозов.

Ведущими биогидрометеорологическими факторами, влияющими на биофизическое состояние сельскохозяйственных ландшафтов (агроландшафтов), являются температура и влажность воздуха, атмосферные осадки, почвенные влагозапасы, суммарное испарение, величина подпитывания слоя почвы от грунтовых вод, при их слишком залегании, фазы развития и другие фитофенологические параметры ароценозов.

Несмотря на особую актуальность и большую практическую значимость вышеизложенного, до настоящего момента для засушливых территорий остается насущной задача разработки фитогидрометеорологических концепций и методов, позволяющих оперативно и заблаговременно, достоверно и комплексно учитывать региональные географические особенности процессов формирования и пространственно-временного распределения растительных и водно-тепловых компонентов таких природно-хозяйственных комплексов как агроландшафты.

Обозначенная проблема во многом решается с помощью предлагаемой автором комплексной структурно-функциональной схемы как совокупности специальных контрольно-диагностических и прогностических методов, способов и алгоритмов и действующей на основе использования репрезентативной информации о биогидрометеорологических факторах, формирующих фитогидротермические условия (ФГТУ) в аридных агроландшафтах.

Разработанная схема, структурно пока-

занная на рис.1, создана по результатам, проведенных на опытно-производственных орошаемых агроценозах типичного аридного среднеазиатского региона, комплексных экспериментальных водно-теплобалансовых и фитофенологических исследований, а также на основе обобщения фондов агрометеорологических данных [5-7].

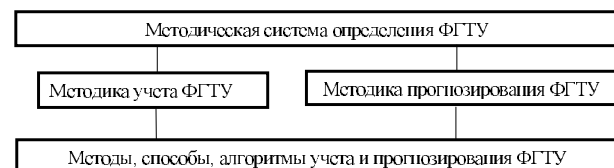


Рис.1 Структурная схема определения фитогидротермических условий агроландшафта

При этом были решены следующие основные задачи:

- изучены процессы энерго- и массообмена в аридных агроландшафтах и установлены закономерности внутрисезонной и территориальной изменчивости элементов растительных, тепловых и водных ресурсов местности в зависимости от их исходного состояния;

- определены главные биогидрометеорологические факторы, влияющие на фитофенологические и гидротермические условия вегетирования ароценозов;

- установлены, имеющие оценочно-прогностическое значение, предикторы и уравнения и разработаны методологические основы создания схемы учета и прогнозирования ФГТУ.

Схема базируется на выявленных зависимостях, полученных количественных и качественных показателях тепло- и влагопереноса в системе почва-растительность-воздух и включает комплексные био-физико-математические модели и методики, предназначенные для определения сроков наступления фенофаз, тепловых ресурсов, оптимального (при достаточном

почвенном увлажнении) суммарного испарения, испаряемости, почвенных влагозапасов и других компонентов агроландшафтов за различные фактические и перспективные периоды вегетирования основных агроценозов.

В данной работе, на примере агроценозов корнеплодов (сахарная и столовая свекла, репа, редька, и др.) показаны структурно-функциональные особенности предлагаемой схемы и её элементов.

Из многочисленных, в т.ч. наших, публикаций следует, что возобновление вегетации сахарной свеклы происходит в сроки, близкие к дате устойчивого перехода температуры воздуха через  $5^{\circ}\text{C}$  весной ( $D_5$ ), что позволяет использовать  $D_5$  в качестве предиктора при расчетах дат посева данных агроценозов.

Связь  $D_5$  с оптимальными сроками посева (С) для сахарной свеклы характеризуется следующим уравнением:

$$C = 0,85D_5 + 37,61 \quad (1),$$

здесь С и  $D_5$  отсчитываются в сутках от 1 января;

$$r = 0,84 \pm 0,03, n = 35, E_y = 5,00 \text{ суток};$$

где  $r$  – коэффициент корреляции,  $n$  – число членов,  $E_y$  – ошибка уравнения.

Дата перехода через  $5^{\circ}\text{C}$  может быть получена по данным наблюдений или предвычислена по уравнению:

$$D_5 = 0,53D_o + 45,16 \quad (2)$$

$$r = 0,76 + 0,05; n = 50; E_y = 5,54 \text{ суток};$$

где  $D_o$  – дата перехода через  $0^{\circ}\text{C}$  весной, отсчитываемая от 1 января, сутки.

Результаты выполненных исследований позволяют при учете и прогнозировании оптимального суммарного испарения, испаряемости, тепловых ресурсов и сроков наступления фенофаз агроценозов, в качестве ведущих биогидрометеорологических предикторов и расчетно-прогнозных факторов использовать даты устойчивого перехода среднесуточной температуры воздуха через  $5^{\circ}\text{C}$  весной, суммы активных температур воздуха и оптимальные сроки посева агроценозов, близкие температурному пределу в  $5^{\circ}\text{C}$ .

Определение оптимального суммарного испарения агроценозов осуществляется по расчетным зависимостям, аналогичным предложенными А.М.Алпатьевым [1], М.И.Будыко [3], и адаптированными нами применительно к использованию

в засушливой зоне:

$$E = K_{t,d,Q,R,o} (t,d,Q,R,E_y) \quad (3)$$

где Е – значение оптимального суммарного испарения агроценоза за расчетный – декадный, межфазный, вегетационный – период (мм), определяемое по суммам: температуры воздуха  $t$ , дефицита влажности воздуха  $d$ , суммарной радиации  $Q$ , радиационного баланса  $R$ , испаряемости  $E_y$  за соответствующий расчетный период;  $K_t, K_d, K_Q, K_R, K_o$  – фитоклиматические коэффициенты оптимального суммарного испарения агроценоза (учитывающие региональные гидроклиматические и фитофенологические особенности агроландшафта), соответственно, по температуре воздуха (мм/ $^{\circ}\text{C}$ ), дефициту влажности воздуха (мм/мб), суммарной радиации и радиационному балансу (мм/кал), испаряемости, полученные нами экспериментально для агроценозов корнеплодов аридных регионов – табл.1,2.

При оценках оптимального суммарного испарения и влагообеспеченности агроландшафтов используется характеристика потенциально возможного испарения (испаряемости), которая для теплого периода года может определяться из уравнений:

$$E_y = 0,30t \quad (4)$$

$$E_y = 0,70Q \quad (5)$$

$$E_y = 1,00R \quad (6)$$

где  $E_y$  – испаряемость (в мм) за расчетный период;  $t$  – сумма среднесуточных температур воздуха (в  $^{\circ}\text{C}$ ),  $Q, R$  – суммы, соответственно, суммарной радиации и радиационного баланса (в кал) за тот же период. При этом исходные величины  $E_y$  определялись нами по зависимости А. И.Будаговского [2].

Значения показателя естественного увлажнения (К) и водных ресурсов (В) аридного агроландшафта за любой промежуток теплого периода года оцениваются по уравнениям водного баланса:

$$K = \frac{X + (V - V') + \Pi}{E} \quad (7);$$

$$B = E - X + (V - V') + \Pi \quad (8)$$

где  $X$  – атмосферные осадки;  $V, V'$  – начальные и конечные влагозапасы заданного корнеобитаемого слоя почвы;  $\Pi$  – подпитывание корнеобитаемого слоя почвы от грунтовых вод; Е – испаряемость или оптимальное суммарное испарение агроценоза – все в мм.

Таблица 1  
Фитоклиматические коэффициенты оптимального

суммарного испарения сахарной свеклы  
по основным гидрометеорологическим факторам

Сумма активных температур воздуха от даты посева, °C	Значения коэффициента				
	K <sub>Q</sub>	K <sub>R</sub>	K <sub>O</sub>	K <sub>T</sub>	K <sub>d</sub>
0-200	0,35	0,52	0,67	0,17	0,32
200-400	0,39	0,57	0,76	0,79	0,36
400-600	0,43	0,62	0,82	0,21	0,38
600-800	0,47	0,70	0,89	0,23	0,42
800-1000	0,54	0,78	0,95	0,26	0,49
1000-1200	0,58	0,85	0,99	0,28	0,51
1200-1400	0,60	0,89	1,04	0,29	0,53
1400-1600	0,62	0,93	1,04	0,30	0,57
1600-1800	0,66	0,98	1,01	0,32	0,59
1800-2000	0,65	0,98	1,00	0,32	0,58
2000-2200	0,63	0,92	0,96	0,31	0,56
2200-2400	0,59	0,89	0,92	0,29	0,51
2400-2600	0,55	0,81	0,90	0,28	0,48
2600-2800	0,53	0,77	0,86	0,26	0,46
2800-3000	0,48	0,71	0,80	0,23	0,41
3000-3200	0,45	0,70	0,80	0,22	0,40
3200-3400	0,44	0,68	0,80	0,22	0,39
среднее	0,53	0,78	0,90	0,26	0,47

Таблица 2  
Температурные фитоклиматические коэффициенты  
оптимального суммарного испарения K агроценозов  
и б) за межфазные периоды – от даты посева

Значение коэффициента	Фазы развития						
	вторая пара листьев	начало роста корней лоды	смыкание в рядках	закрытие между рядами	максимальное развитие	пожелтение нижних листьев	техническая спелость
а) пофазно	0,20	0,23	0,26	0,30	0,32	0,26	0,23
б) от даты посева	0,19	0,20	0,21	0,23	0,26	0,26	0,26

Величина ( $\Pi$ ) рассчитывается по формуле С.И. Харченко [8], с адаптированием содержащихся в ней параметров:

$$\Pi = \frac{E'}{e^{Gm}} \quad (9),$$

здесь  $\Pi$  – в мм за расчетный период;  $E'$  – испаряемость по (6)-(9) за тот же период, мм;  $e$  – основание натурального логарифма;  $G$  – глубина залегания грунтовых вод, м;  $m$  – эмпирический коэффициент зависящий от агрофизических свойств почво-грунтов, вида агроценоза, глубины корнеобитаемого слоя почвы и определяемый экспериментально в конкретных агроклиматических условиях.

Оценка ожидаемых тепловых ресурсов агроландшафтов ведется по дате устойчивого перехода среднесуточной температуры воздуха через 5 °C весной (за различные от  $D_s$  подекадно нарастающие или межфазные периоды) на основе уравнений табл.3

Даты наступления фенофаз агроценозов рассчитываются по данным об оптимальном сроке их посева по уравнениям аналогичным табл.4.

Разработанные методы позволяют в период от посева и до окончания вегетации

Таблица 3  
Зависимость между  $D_s$  и подекадно нарастающими суммами тепловых ресурсов (Y, °C)

Число и обозначение декад от $D_s$	Статистические параметры при n=50				
	коэффициент корреляции	средне квадратичное отклонение, °C	коэффициент вариации, %	уравнение регрессии	ошибка уравнения регрессии, °C
Y <sub>1</sub>	0,60±0,07	20,10	24	Y <sub>1</sub> =1,22D <sub>s</sub> +2,08	15,48
Y <sub>2</sub>	0,62±0,07	35,28	20	Y <sub>2</sub> =2,20D <sub>s</sub> +13,20	27,17
Y <sub>3</sub>	0,68±0,07	65,21	19	Y <sub>3</sub> =4,14D <sub>s</sub> +18,71	43,55
Y <sub>4</sub>	0,73±0,06	79,38	18	Y <sub>4</sub> =6,02D <sub>s</sub> +32,44	55,57
Y <sub>5</sub>	0,77±0,06	99,60	16	Y <sub>5</sub> =7,75D <sub>s</sub> +12,72	62,75
Y <sub>6</sub>	0,79±0,06	117,91	15	Y <sub>6</sub> =9,32D <sub>s</sub> +32,29	74,28
Y <sub>7</sub>	0,82±0,05	134,97	14	Y <sub>7</sub> =11,47D <sub>s</sub> +57,55	75,58
Y <sub>8</sub>	0,83±0,05	146,25	12	Y <sub>8</sub> =11,34D <sub>s</sub> +219,58	81,90
Y <sub>9</sub>	0,84±0,05	148,44	9	Y <sub>9</sub> =12,01D <sub>s</sub> +422,68	83,13
Y <sub>10</sub>	0,84±0,05	160,00	9	Y <sub>10</sub> =12,92D <sub>s</sub> +563,74	89,60
Y <sub>11</sub>	0,83±0,05	169,98	8	Y <sub>11</sub> =13,80D <sub>s</sub> +723,60	95,19
Y <sub>12</sub>	0,81±0,05	169,74	7	Y <sub>12</sub> =13,14D <sub>s</sub> +1013,44	95,05
Y <sub>13</sub>	0,80±0,06	179,57	7	Y <sub>13</sub> =13,80D <sub>s</sub> +1202,85	113,13
Y <sub>14</sub>	0,79±0,06	169,28	6	Y <sub>14</sub> =13,41D <sub>s</sub> +1474,44	106,65
Y <sub>15</sub>	0,77±0,06	159,57	5	Y <sub>15</sub> =12,39D <sub>s</sub> +1769,40	100,30
Y <sub>16</sub>	0,75±0,06	147,44	5	Y <sub>16</sub> =11,00D <sub>s</sub> +2086,20	92,89
Y <sub>17</sub>	0,72±0,07	135,97	4	Y <sub>17</sub> =9,88D <sub>s</sub> +2350,45	95,18
Y <sub>18</sub>	0,69±0,07	127,50	4	Y <sub>18</sub> =8,87D <sub>s</sub> +2587,56	89,25
Y <sub>19</sub>	0,65±0,07	128,85	4	Y <sub>19</sub> =8,45D <sub>s</sub> +2762,73	99,21
Y <sub>20</sub>	0,65±0,07	130,07	4	Y <sub>20</sub> =7,93D <sub>s</sub> +2911,27	100,75

Таблица 4  
Зависимость между оптимальным сроком посева (C) и датами наступления фаз развития сахарной свеклы (Y)

Фазы развития	Статистические параметры при n=40				
	коэффициент корреляции	средне квадратичное отклонение, сутки	коэффициент вариации, %	уравнение регрессии	ошибка уравнения регрессии, °C
посев – выходы (Y <sub>1</sub> )	-0,84±0,03	4,76	34	Y <sub>1</sub> =-0,53C+70,01	2,57
посев – вторая пара листьев (Y <sub>2</sub> )	-0,73±0,05	5,15	17	Y <sub>2</sub> =-0,55C+83,32	3,63
посев – начало роста корней плода (Y <sub>3</sub> )	-0,68±0,06	6,38	14	Y <sub>3</sub> =-0,65C+112,86	4,78
посев – смыкание в рядках (Y <sub>4</sub> )	-0,68±0,06	7,32	12	Y <sub>4</sub> =-0,78C+141,32	5,39
посев – закрытие между рядов (Y <sub>5</sub> )	-0,69±0,06	7,67	10	Y <sub>5</sub> =-0,77C+158,74	5,74
посев – максимальное развитие (Y <sub>6</sub> )	-0,70±0,05	9,35	8	Y <sub>6</sub> =-0,92C+202,37	6,42
посев – пожелтение нижних листьев (Y <sub>7</sub> )	-0,72±0,05	10,70	7	Y <sub>7</sub> =-1,17C+268,53	7,34
посев – техническая спелость (Y <sub>8</sub> )	-0,74±0,05	12,09	7	Y <sub>8</sub> =-1,27C+300,99	8,30

оперативно, или с заблаговременностью от одного до шести месяцев, прогнозировать значения дат наступления фенофаз и другие фитоценотические параметры ведущих агроценозов, их тепловые и водные ресурсы в пределах агроландшафтов за различные подекадные и межфазные периоды.

Расчеты ведутся по оперативным данным гидрометеостанции или любого пункта наблюдений, репрезентативного для территории, по которой производится учет и прогнозирование.

В соответствии со схемой рис.2 биогидрометеорологические факторы и ФГТУ агроландшафта могут оцениваться по следующим равнозначным вариантам:

1) по (2) определяется дата перехода температуры воздуха через 5 °C весной ( $D_5$ ); на основе  $D_5$  и с учетом срока посева агроценоза оценивается подекадно нарастающая величина ожидаемых тепловых ресурсов за расчетный период ( $T$ ); на основе ( $T$ ), за тот же период, вычисляется оптимальное суммарное испарение ( $E$ ); с учетом величины естественного увлажнения, по (7), (8) определяются влагообеспеченность ( $K$ ) и водные ресурсы агроценоза ( $B$ );

2) на основе  $D_5$  по (1) предвычисляется дата оптимального срока посева агроценоза ( $C$ ); по ( $C$ ) определяются ожидаемые даты наступления фенофаз агроценоза ( $\Phi$ ); сравнением подекадных ожидаемых ( $T$ ), полученных по варианту 1, с ожидаемыми ( $\Phi$ ) определяются ( $T$ ) за межфазные и внутрифазные периоды; по ( $T$ ) и межфазным фитоклиматическим коэффициентам оптимального суммарного испарения оцениваются ( $E$ ) и ( $B$ ) соответствующего межфазного периода вегетирования агроценоза.

Значения тепловых ресурсов, суммарного испарения и других гидрометеорологических факторов за более короткие, чем от межфазные или подекадные периоды рассчитываются по уравнениям типа:

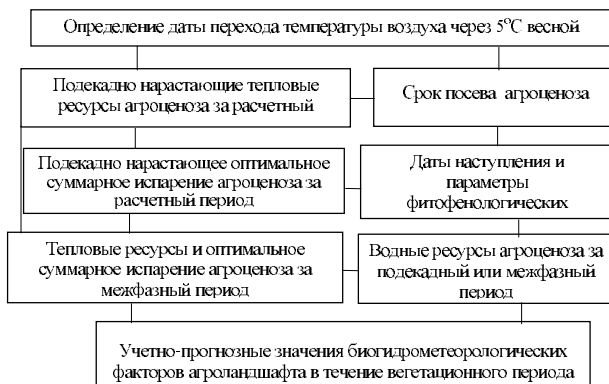


Рис. 2. Функциональная схема учета и прогнозирования фитогидротермических условий агроландшафтов за внутривегетационные периоды.

$$P = P_2 - P_1 \quad (10)$$

где  $P$  – значение заданного фактора за искомый период;  $P_2$  – значение фактора на последующий срок;  $P_1$  – то же на предыдущий срок.

Порядок учета и прогнозирования ФГТУ агроценоза сахарной свеклы за межфазный период «посев – смыкание в рядках» по варианту 2, при  $D_5 = 10$  марта, и величине естественного увлажнения за счет  $X + (V - V') + \Pi = 180$  мм. следующий. Приводим  $D_5$  к единому календарному ряду (отсчетом от 1 января), что дает  $D_5 = 69$ . По уравнению (1) вычисляется оптимальный срок посева ( $C$ ) сахарной свеклы:  $C = 0,85 \cdot 69 + 37,61 = 96$ , что дает дату посева = 6 апреля.

По уравнению 4 табл.4 определяется дата наступления фенофазы ( $\Phi$ ) «смыкание в рядках»:  $(\Phi), Y_4 = -0,78 \cdot 96 + 141,32 = 66$ , т.е. заданная ( $\Phi$ ) наступит через 66 суток после оптимального срока посева – 11 июня. Далее, по  $D_5$ , с помощью уравнения 9 табл.3, определяются ожидаемые тепловые ресурсы ( $T$ ) за 9 декад – с 10 марта по 11 июня:  $(T), Y_9 = 2,20 \cdot 69 + 13,20 = 165$  (°C), тогда в соответствии с (10) тепловые ресурсы от срока посева до даты наступления фенофазы «смыкание в рядках» составят:  $1251 - 165 = 1086$  (°C). Умножив оцененные тепловые ресурсы на соответствующий фитоклиматический коэффициент ( $K_t$ ) табл.2, получим прогнозное оптимальное суммарное испарение сахарной свеклы за межфазный период «посев – смыкание в рядках»:  $1086 \cdot 0,21 = 228$  (мм).

Из уравнения (8) баланс водных ресурсов агроценоза сахарной свеклы за тот же расчетный период составит:  $E - [X + (V - V') + \Pi] = 228 - 180 = 48$  (мм) = 480 (м³/га).

Это показывает, что ожидается дефицит водных ресурсов и необходимо будет произвести орошение посевов сахарной свеклы в межфазный период «посев – смыкание в рядках» нормой в 48 мм, или 480 м³/га.

В соответствии с уравнением (9) прогнозируемая степень естественного увлажнения или влагообеспеченность агроценоза (сахарной свеклы) за расчетный период составит :

$$\frac{X + (V - V') + \Pi}{E} = \frac{180}{228} = 79 \%$$

от оптимальной, т. е. от величины водных ресурсов, необходимых для биоклиматически обоснованного вегетирования данного агроценоза.

С помощью предлагаемой методической системы прогнозировались значения биогидрометеорологических факторов в оперативных погодных условиях аридной зоны со средней точностью (оправдываемостью) свыше 75 %, что с уч-

том требований [4], вполне приемлемо для использования разработанной схемы и содержащихся в ней методов для прикладных целей.

Для повышения оперативности, точности и достоверности результатов прогнозирования разработана система методов уточнения (корректировки) прогнозных данных. Сущность предлагаемой методики заключается в более комплексном и детальном учете природно-техногенных факторов, влияющих на точностные параметры заданных показателей, а ее применение повышает точность прогнозирования в среднем на 10%.

Таким образом, в процессе формирования агрометеорологических концептуально-методических основ определения ФГТУ функционирования агроландшафтов в засушливых регионах, автором созданы комплексные методики контроля и оценки, прогнозирования и корректировки необходимых растительных и водно-тепловых факторов. Разработаны в качестве новых специальные методы расчета тепловых ресурсов, сроков наступления фитофенофаз агроценозов, площади их листовой поверхности и глубины корнеобитаемого слоя почвы. Усовершенствованы или адаптированы (применительно к аридным гидроклиматическим условиям) существующие способы оценки испаряемости, оптимального суммарного испарения агроценозов, величины подпитывания почвы от грунтовых вод, водных ресурсов и влагообеспеченности агроландшафтов. Получены расчетные схемы и алгоритмы,

упрощающие контроль суточных, декадных, сезонных значений оптимального суммарного испарения агроценозов, температуры, дефицита и относительной влажности воздуха, а также – учет влагозапасов заданного слоя почвы по наблюдениям за влагосодержанием лишь на одном выявленном репрезентативном уровне.

Разработанные методологические основы определения ФГТУ могут применяться для разработки концепций формирования географических информационных систем, а также при создании новых и унификации существующих методов контроля, оценки и прогнозирования величин ресурсоформирующих биогидрометеорологических компонентов окружающей среды, для планирования и реализации необходимых природоохранных мероприятий и ресурсосберегающих технологий в засушливых регионах России и стран СНГ с аналогичными экспериментальными природно-хозяйственными условиями.

#### Список использованной литературы

1. Алпатьев А.М. Влагооборот культурных растений.- Гидрометеоиздат, 1954.-248 с.
2. Будаговский А.И. Испарение почвенной влаги.-М.: Наука, 1964. -243 с.
3. Будыко М.И. Тепловой баланс земной поверхности.-Л.: Гидрометеоиздат, 1956.-256 с.
4. Пенман Х.Л. Растения и влага.-Л.: Гидрометеоиздат. 1968.-164 с.
5. Руководящий документ (РД 5227284-91). Методические указания по проведению производственных (оперативных) испытаний новых и усовершенствованных методов гидрометеорологических и геофизических прогнозов.-М.: Госкомгидромет СССР, 1991. -150 с.
6. Рычко О.К. Принципы создания географических информационных систем горных территорий. – Информационный листок КиргНИИТИ, Бишкек, 1991. – 4 с., И 170 (4845)
7. Рычко О. К. Агрометеорологические основы водосберегающих технологий на сельскохозяйственных угодьях Средней Азии.-М., 1991.-26 с. – Деп. в ВИНИТИ 11.12.1991, М 4581.
8. Рычко О.К. Методологические основы прогнозирования тепловлагообеспеченности и фенологических условий вегетирования природных и агросистем в аридных регионах Средней Азии.- Бишкек, 1992.-56 с.- Деп. в КиргНИИТИ 23.06.1992, И 566.
9. Харченко С.И. Гидрология орошаемых земель. -Л.: Гидрометеоиздат, 1975.-373 с.

Статья поступила в редакцию 20.07.99.